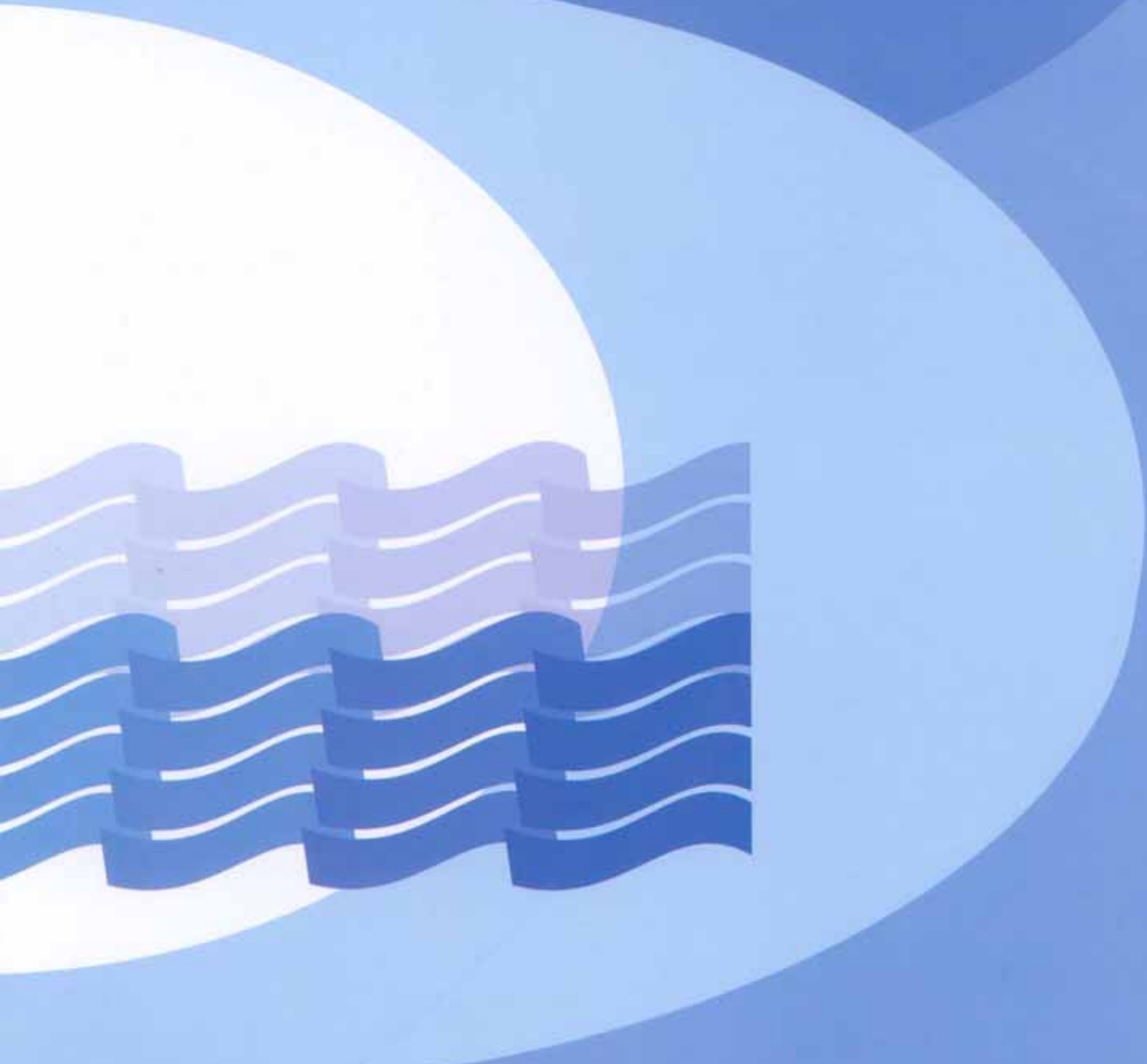




# ژئوفیزیک و نقش آن در مهندسی آب ، روش گرانی سنجی



ژئوفیزیک و نقش آن در مهندسی آب،  
روش گرانی سنجی

## پیشگفتار

امروزه نقش و اهمیت ضوابط ، معیارها و استانداردها و آثار اقتصادی ناشی از بکارگیری مناسب و مستمر آنها در پیشرفت جوامع ، تهیه و کاربرد آنها را ضروری و اجتنابناپذیر ساخته است . نظر به وسعت دامنه علوم و فنون در جهان امروز ، تهیه ضوابط ، معیارها و استانداردها در هر زمینه به مجتمع فنی - تخصصی واگذار شده است .

با درنظر گرفتن مراتب فوق و با توجه به شرایط اقلیمی و محدودیت منابع آب در ایران، تهیه استاندارد در بخش آب از اهمیت ویژه‌ای برخوردار بوده و از این رو طرح تهیه استانداردهای مهندسی آب کشور وزارت نیرو در جهت نیل به این هدف با مشخص نمودن رسته‌های اصلی مهندسی آب اقدام به تشکیل مجتمع علمی - تخصصی با عنوان کمیته‌ها و زیرکمیته‌های فنی نموده که وظیفه تهیه این استانداردها را به عهده دارند .

استانداردهای مهندسی آب با درنظر داشتن موارد زیر تهیه و تدوین می‌گردد:

- استفاده از تخصص‌ها و تجارب کارشناسان و صاحبنظران شاغل در بخش عمومی و خصوصی
- استفاده از منابع و مأخذ معتبر و استانداردهای بین‌المللی
- بهره‌گیری از تجرب دستگاه‌های اجرائی ، سازمانها ، نهادها ، واحدهای صنعتی ، واحدهای مطالعه ، طراحی و ساخت
- ایجاد هماهنگی در مراحل تهیه ، اجرا ، بهره‌برداری و ارزشیابی طرحها
- پرهیز از دوباره کاریها و اتلاف منابع مالی و غیرمالی کشور
- توجه به اصول و موازین مورد عمل موسسه استاندارد و تحقیقات صنعتی ایران و سایر موسسات معتبر تهیه کننده

### استاندارد

استانداردها ابتدا بصورت پیش‌نویس برای نظرخواهی منتشر شده و نظرات ارسالی پس از بررسی در کمیته تخصصی در نسخه نهایی منظور می‌گردد.

آگاهی از نظرات کارشناسان و صاحبنظرانی که فعالیت آنها با این رشتہ از مهندسی آب مرتبط می‌باشد موجب امتنان کمیته فنی شماره ۱۳-۲ (ژئوفیزیک) خواهد بود.

## ترکیب اعضای کمیته

این نشریه با مشارکت اعضای کمیته فنی شماره ۱۳-۲ (ژئوفیزیک) طرح تهیه استانداردهای مهندسی آب کشور تهیه و تنظیم شده که اسامی آنها به ترتیب الفبا به شرح زیر است :

آقای علی اکبر اسلامی	فوق لیسانس ژئوفیزیک
آقای حسن حاجب حسینیه	دکترای فیزیک
خانم وحیده زرگر صالح	فوق لیسانس ژئوفیزیک
آقای فرهنگ شیروانی	لیسانس زمین‌شناسی - کارشناس ژئوفیزیک
آقای علی نصیریان	لیسانس زمین‌شناسی - کارشناس ژئوفیزیک و هیدرولوژی
آقای غلامحسین نوروزی	دکترای ژئوفیزیک

## فهرست مطالب

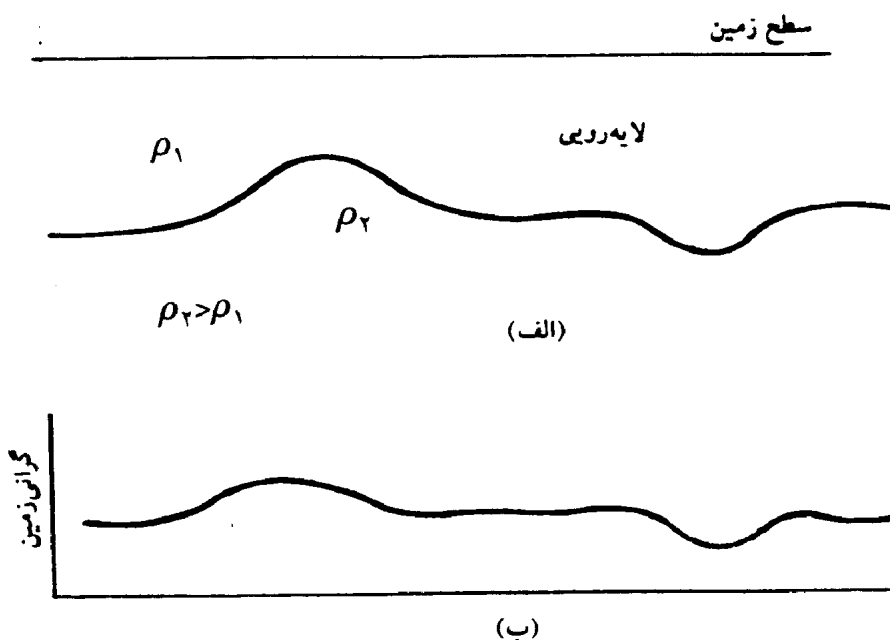
<u>عنوان</u>	<u>صفحه</u>
-۱	۱
۱-۱	۱
۲-۱	۱
-۲	۲
۱-۲	۲
۲-۲	۳
۳-۲	۳
۴-۲	۴
۱-۴-۲	۴
۲-۴-۲	۶
۳-۴-۲	۷
۴-۴-۲	۸
۵-۴-۲	۱۰
۶-۴-۲	۱۱
-۳	۱۱
۱-۳	۱۱
۲-۳	۱۲
۱-۲-۳	۱۲
۲-۲-۳	۱۴
-۴	۱۶
-۵	۱۶
۱-۵	۱۷
۲-۵	۱۸
۳-۵	۱۹
۴-۵	۱۹
۵-۵	۲۰
۶-۵	۲۰

## فهرست مطالب

عنوان		صفحه
نمایش داده‌ها	۶-	۲۰
تفسیر داده‌ها	-۷	۲۱
تفسیر کمی	۱-۷	۲۲
اجسام ساده منظم	۱-۱-۷	۲۲
اضافه جرم اجسام نامنظم	۲-۱-۷	۲۵
تفسیر کیفی	-۸	۲۷
تصحیح بی‌هنگاریهای منطقه‌ای	۱-۸	۲۷
تفسیر بی‌هنگاریهای بوگه	۲-۸	۲۸
کاربرد گرانی سنجی در مهندسی آب	۱-۲-۸	۲۸
ارائه چند نمونه از تفسیرهای گرانی سنجی	۳-۸	۲۹
منابع		۳۴

## ۱-۱ کلیات

گرانی سنجی یکی از روش‌های ژئوفیزیکی است که در آن با اندازه‌گیری شتاب گرانشی یا گرانی زمین می‌توان در ابعاد وسیع شکل دقیق زمین را بدست آورد و در ابعاد کوچکتر چگونگی توزیع لایه‌های زیرزمینی را براساس تفاوت چگالی آنها مشخص کرد. مثلاً منحنی گرانی که بر بالای یک تاقدیس با چگالی بزرگتر از اطراف خود بدست می‌آید مقدار بیشتری را نشان خواهد داد (شکل ۱) و همچنین گرانی اندازه‌گیری شده در دو طرف یک گسله نیز مقادیر مختلفی را نشان خواهد داد.



شکل ۱- (الف) عوارض زیرزمینی (ب) گرانی اندازه‌گیری شده

## ۲-۱ هدف

کاربرد این روش در مسائل محلی مثل کاوش آبهای زیرزمینی از سالهای ۱۹۷۰ رونق گرفت که دستگاههای دقیق گرانی سنجی مثل خرد گرانی سنج<sup>۱</sup> ساخته شده و در کارهای ژئوتکنیک مورد استفاده قرار گرفت. با این دستگاهها می‌توان حفره‌های زیرزمینی خشک یا آبدار، تونلهای زیرزمینی و زونهای کم چگالی زیرزمینی را مشخص نمود. در

۱- microgravimeter

رابطه باکاوش آبهای زیرزمینی، روش گرانی سنجی می‌تواند برای تعیین ضخامت مواد رسوبی غیر متراکم در دره‌های آبرفتی و تعیین توپوگرافی سنگ‌کف مورد استفاده قرار گیرد (Carmichael and Henry, 1977) و (Van Overmeeren, 1975).

در اینجا باید مذکور شد که تفسیر اینگونه داده‌ها همواره دارای ابهاماتی است که اغلب با استفاده از اطلاعات زمین‌شناسی و با کمک روشهای دیگر ژئوفیزیکی قابل حل می‌باشند (Van Overmeeren, 1981).

## مبانی نظری -۲

### ۱-۲ نیرو و شتاب گرانشی زمین

قانون گرانش عمومی نیوتون، نیروی رابیشی  $F$  بین دو جرم کروی  $m_1$  و  $m_2$  را که در فاصله  $r$  از هم قرار گرفته‌اند بصورت زیر معرفی می‌کند:

$$F = G \frac{m_1 m_2}{r^2} \quad (1-2)$$

که در آن  $G$  ثابت بین‌المللی گرانش بوده و مقدار آن در سیستم c.g.s. برابر  $\times 10^{-11} \text{ N} \cdot \text{kg}^{-2} \text{ m}^3 \text{ kg}^{-1} \text{ s}^{-2}$  است. از علامت منفی که نشان می‌دهد  $F$  نیروی رابینده است و دو جسم به سوی یکدیگر جذب می‌شوند صرفنظر شده است. اگر یکی از این دو جرم مثلاً  $m_2$  واحد باشد  $F = G \frac{m_1}{r^2}$  شدت میدان گرانشی  $m_1$  در محل جرم واحد است.

حال اگر جرم مولد میدان، کره زمین با جرم  $M$  و بدون حرکت فرض شود و جرم دومی ( $m$ ) در فاصله  $r$  از مرکز زمین قرار گیرد آنگاه:

$$F = G \frac{Mm}{r^2} \quad (2-2)$$

نیروی گرانشی زمین است که به جرم  $m$  وارد می‌شود. ضمناً طبق قانون دوم حرکت نیوتون، جرم  $m$  به سطح زمین سقوط کرده و شتاب  $g$  به آن وارد می‌شود، بطوری که می‌توان نوشت:

$$F = mg \quad (3-2)$$

از دو رابطه (۲-۲) و (۳-۲) نتیجه می شود:

$$g = \frac{GM}{r^2} \quad (4-2)$$

g همان شدت میدان زمین یا شتاب گرانشی زمین است که گرانی زمین نامیده می شود. در دستگاه c.g.s. واحد آن سانتیمتر بر میلی ثانیه ( $m/s^2$ ) و در اصطلاح علمی یک گال (gal) می باشد. در گرانی سنجی گال واحد بزرگی است و عملاً از واحد کوچکتری بنام میلی گال (mgal) استفاده می شود. واحد دیگری بنام واحد گرانی (gu) وجود دارد که برابر یک دهم میلی گال است.

## ۲-۲ میدان و پتانسیل گرانشی زمین

نیروی گرانشی زمین باعث ایجاد یک میدان گرانی در اطراف آن می شود که مقدار آن در هر نقطه از رابطه (۴-۲) بدست می آید. این میدان در هر نقطه به فاصله  $r$  از مرکز زمین دارای توانمندی یا پتانسیل انجام کار است و بر حسب تعریف، پتانسیل گرانی در هر نقطه عبارت از کاری است که می بایست توسط میدان انجام گیرد تا جرم واحد از بینهایت (پتانسیل صفر) به آن نقطه آورده شود. یعنی:

$$v = - \int_{\infty}^r g dr = - \int_{\infty}^r \frac{GM}{r^2} dr = \frac{GM}{r} \quad (5-2)$$

اگر از این رابطه دوباره مشتق گرفته شود آنگاه:

$$g = - \text{grad } v = - \frac{\partial v}{\partial r} = \frac{GM}{r^2} \quad (6-2)$$

عبارت دیگر، شتاب (میدان) مشتق از پتانسیل است و چون محاسبات گرانی با پتانسیل آسانتر بیان می شود، لذا می توان ابتدا پتانسیل را محاسبه کرده و از روی آن شتاب را بدست آورد.

## ۳-۲ سطوح هم پتانسیل و خطوط میدان

سطح هم پتانسیل سطحی است که بر روی آن پتانسیل ثابت باشد. اگر از تابع پتانسیل، نسبت به سه محور مختصات

قائم، دیفرانسیل گرفته شود داریم :

$$dv = \frac{\partial v}{\partial x} dx + \frac{\partial v}{\partial y} dy + \frac{\partial v}{\partial z} dz$$

که خود حاصلضرب نداری (اسکالر) دو بردار  $\text{grad}v$  با مؤلفه‌های  $dx, dy, dz$  و  $\frac{\partial v}{\partial x}, \frac{\partial v}{\partial y}, \frac{\partial v}{\partial z}$  است. لذا با استفاده از رابطه (۶-۲) می‌توان نوشت :

$$dv = \overset{\leftrightarrow}{g} \cdot \overset{\leftrightarrow}{dr} \quad (7-2)$$

که بر روی یک سطح هم پتانسیل مقدار آن برابر صفر است، یعنی خطوط میدان  $g$  همواره بر سطح هم پتانسیل عمودند. ضمناً چون اختلاف پتانسیل بین دو سطح هم پتانسیل مجاور صفر نیست، پس این سطوح نمی‌توانند یکدیگر را قطع کنند. اگر زمین کامل با لایه‌بندیهای یکنواخت بود، سطوح هم پتانسیل نیز کروی و خطوط میدان، شعاعهای این کره‌ها بودند.

#### ۴-۲ اثرات زمین واقعی

رابطه (۴-۲) تنها در مورد زمینی صدق می‌کند که دارای مشخصات زیر باشد :

الف - حرکت چرخشی نداشته باشد.

ب - کره کامل باشد.

ج - دارای لایه‌بندیهای متحددالمرکز یکنواخت باشد.

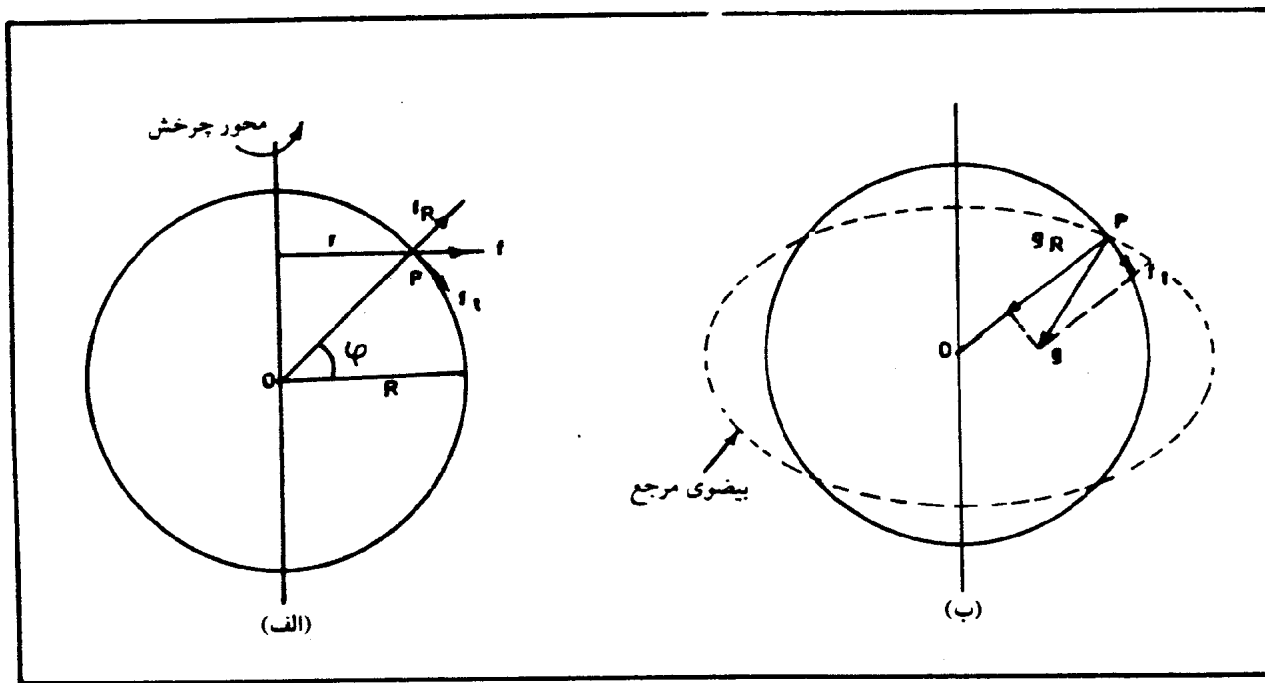
#### ۱-۴-۲ اثر چرخش زمین

حرکت وضعی زمین بدor محور چرخش آن سبب می‌شود که هر نقطه از سطح آن مانند P (شکل ۲ الف) دارای حرکت دورانی با شعاع  $r = R \cos \varphi$  باشد. عرض جغرافیایی نقطه P و شعاع زمین است. این حرکت دورانی سبب می‌شود که بر واحد جرم در نقطه P شتاب مرکز گردیز  $f = f_R \omega^2 r$  وارد شده و این جرم را به بیرون پرتاب نماید. این شتاب را می‌توان به دو مؤلفه شعاعی  $f_R$  و مماسی  $f_t$  تجزیه نمود که عبارتند از :

$$f_R = f \cos \varphi = \omega^2 R \cos^2 \varphi \quad (8-2)$$

$$f_t = f \sin \varphi \quad (9-2)$$

مؤلفه شعاعی این شتاب از گرانی زمین می‌کاهد و اگر قدر مطلق گرانی در نظر گرفته شود آنگاه:



شکل ۲- اثر حرکت چرخشی زمین (الف) مؤلفه‌های شتاب مرکز گردی (ب) برآیند نیروها و شکل بیضوی زمین

$$g_R = G \frac{M}{R^2} - f_R \quad (10-2)$$

مؤلفه شعاعی در استوای زمین ( $\varphi = 0^\circ$ ) حداقل و حدود  $1/298$  گرانی زمین را تشکیل می‌دهد، و در قطب ( $\varphi = 90^\circ$ ) مقدار آن صفر و گرانی در قطب همان  $g_p = \frac{GM}{R^2}$  است در نتیجه:

$$g_R = g_p - f_R = g_p - f \cos \varphi \quad (11-2)$$

بدین ترتیب میدان واقعی زمین از برآیند  $g_R$  و  $f_t$  پیدا می‌شود (شکل ۲ ب) که با استفاده از (۸-۲)، (۹-۲) و (۱۱-۲) نتیجه می‌شود.

$$\begin{aligned} g &= (g_R^2 + f_t^2)^{1/2} = [(g_p - f \cos \varphi)^2 + (f \sin \varphi)^2]^{1/2} \\ &= [g_p^2 - 2g_p f \cos \varphi + f^2 \cos^2 \varphi + f^2 \sin^2 \varphi]^{1/2} \end{aligned}$$

$$= (g_p - 2g_p f \cos\varphi + f^2)^{1/2}$$

$$= g_p (1 - \frac{2f}{g_p} \cos\varphi)^{1/2}$$

که از جمله  $f/g_p$  صرفنظر شده است. با استفاده از (۸-۲) داریم:

$$g = g_p (1 - \frac{\omega^2 R \cos^2 \varphi}{g_p})^{1/2} \cong g_p (1 - \frac{\omega^2 R \cos^2 \varphi}{g_p}) = g_p (1 - \beta \cos^2 \varphi) \quad (12-2)$$

که در آن  $\beta = \frac{\omega^2 R}{g_p}$  مقدار ثابت و در حدود ۰/۰۰۳ است.  
حال در استوا ( $\varphi = 90^\circ$ ) داریم:

$$g_e = g_p (1 - \beta)$$

$$g_p = g_e (1 - \beta)^{-1} \cong g_e (1 + \beta)$$

که اگر در رابطه (۱۲-۲) قرار داده شود:

$$g = g_e (1 + \beta)(1 - \beta \cos^2 \varphi)$$

$$= g_e (1 + \beta - \beta \cos^2 \varphi - \beta^2 \cos^2 \varphi)$$

اگر از جمله آخر صرفنظر شود آنگاه:

$$g = g_e (1 + \beta \sin^2 \varphi) \quad (13-2)$$

رابطه (۱۳-۲) هر چند تقریبی است، ولی نشان می‌دهد که شتاب گرانی  $g$  به عرض جغرافیایی  $\varphi$  ارتباط دارد، بطوری که در استوا می‌نیمم و در قطب به مقدار ماکزیمم خود می‌رسد.

## ۲-۴-۲ بیضوی مرتع<sup>۱</sup> و فرمول گرانی نرمال

تا اینجا فرض بر این بود که زمین کروی است. در واقع زمین در اثر حرکت چرخشی بدور محورش، و تحت اثر مؤلفه مماسی  $f$ ، در قطبها تحت شدگی<sup>۲</sup> یافته و تغییر شکل داده است. اندازه گیریها نشان می‌دهد که شکل زمین به

1- reference ellipsoid

2- flattening

بیضوی یا بیضی دوار نزدیک است. لذا اختلاف گرانی در نقاط مختلف زمین، علاوه بر اثر شتاب مرکز گریز، به علت تخت شدگی نیز می باشد که در رابطه (۱۴-۲) باید منظور شود. بهمین دلیل بطور متوسط یک سطح هم پتانسیل بیضوی بنام بیضوی مرجع برای سطح زمین فرض می کنند که در همه جا سطح افق را تشکیل داده و برآیند نیروی گرانی در هر نقطه بر آن عمود باشد (شکل ۲ ب). کلو<sup>۱</sup> در سال ۱۷۴۳ با در نظر گرفتن مطالب فوق برای گرانی متوسط زمین در عرضهای جغرافیایی مختلف، فرمول گرانی نرمال یا فرمول بین المللی گرانی را بصورت زیر پیشنهاد کرد:

$$g = g_e (1 + A \sin^2 \varphi - B \sin^2 2\varphi) \quad (14-2)$$

که در آن  $g_e$  متوسط گرانی در استوا،  $\varphi$  عرض جغرافیایی و A و B دو ضریب هستند که معرف پارامترهای مربوط به تخت شدگی و چرخش زمین می باشند. این ضرایب هر چند سال یکبار متناسب با پیشرفت اندازه گیریها تصحیح می شوند. مقدار این ضریبها در کنفرانس بین المللی ژئودزی و ژئوفیزیک در سال ۱۹۸۰ بصورت زیر اعلام شد:

$$g_e = 978/0.327 \quad \text{gal}$$

$$A = 0/0053024 \quad \text{و} \quad B = 0/0000058$$

شتاب گرانشی زمین که از رابطه (۱۴-۲) بدست می آید گرانی نرمال نام دارد و در واقع گرانی در سطح زمینی است با شکل بیضوی و دارای لایه بندیهای یکنواخت و بدون بی هنجاری.<sup>۲</sup>

### ۳-۴-۲ سطح ژئوئید<sup>۳</sup>

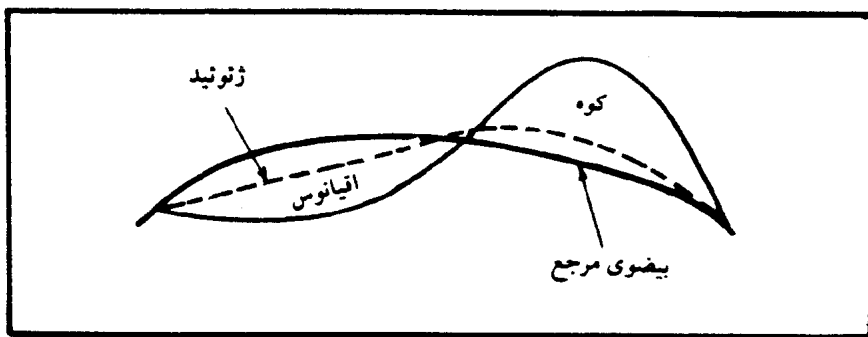
در مطالعات گرانی سنجی، ژئودزی و نقشه برداری برای اندازه گیری تغییرات چگالی در قشر زمین و تغییرات ارتفاعی در سطح زمین می بایست سطح مبنایی انتخاب شود. این سطح مبنا می تواند سطح هم پتانسیل بیضوی مرجع باشد. این سطح در زمین واقعی با پستی و بلندیها و بی هنجاریهای گرانی آن در دسترس نیست. ولی می دانیم که ذرات آب با کوچکترین نیروی مماسی وارد بر سطح آب بر روی هم غلطیده و در سطح آن مؤلفه افقی میدان گرانی وجود نداشته و لذا سطح آب، سطحی هم پتانسیل بوجود می آورد. چنین سطح فرضی بر روی زمین ژئوئید نام دارد که قسمت اعظم آن بصورت اقیانوسها در اختیار قرار دارد. ژئوئید واقعی نسبت به بیضوی مرجع، پستی و بلندیهایی دارد که به موجداری<sup>۴</sup> ژئوئید معروف است (شکل ۳).

1- Clairaut

2- anomaly

3- geoid

4- undulation



شکل ۳- مقایسه سطح واقعی زمین، بیضوی مرجع و ژئوئید

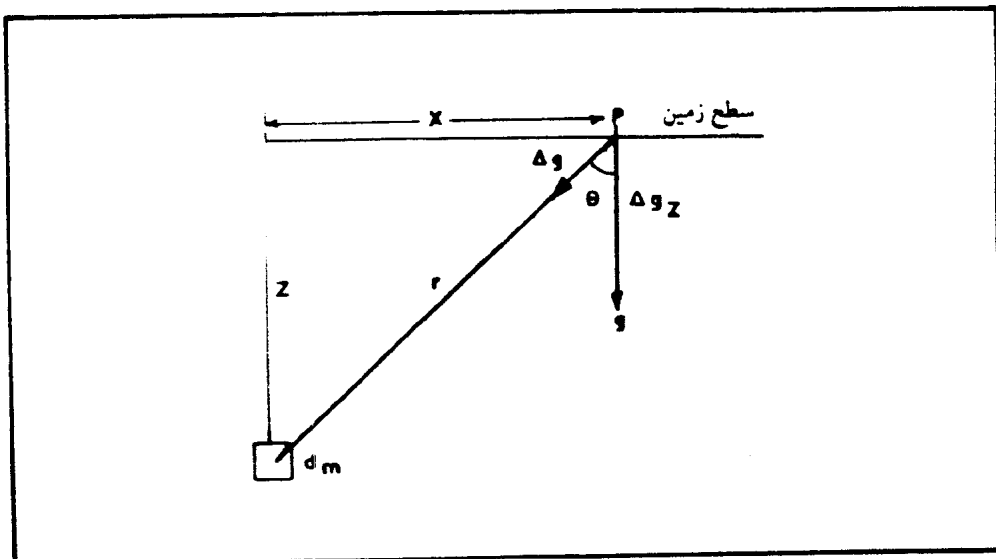
در این شکل کوهها بعنوان جرمی بزرگ سبب بالا آمدن ژئوئید نسبت به بیضوی مرجع می‌شود، در حالی که ایوانوسها با چگالی کمتر از اطراف خود سبب فرو رفتن ژئوئید به داخل بیضوی مرجع می‌شود. در مقایس کوچک نیز بی‌هنجریهای چگالی بویژه در پوسته وجود دارد که ژئوئید را موجدار می‌کند.

خوبی بختانه قسمت اعظم سطح زمین را ایوانوسها گرفته‌اند و در آنجا ژئوئید در دسترس قرار دارد. بهمین لحاظ سطح آزاد ایوانوسها در هر قاره بعنوان سطح مبنا انتخاب می‌شود. از راه اندازه‌گیریهای گرانی می‌توان سطح ژئوئید را از سطح دریا به داخل خشکی‌ها ادامه داده و اختلاف ارتفاع آن را با سطح بیضوی مرجع بدست آورد. گارلند ۱۳۶۹ نقشه‌هایی در سطح جهانی از این اختلاف ارتفاع ارائه می‌کند که از آنها برای شناسایی زونهایی که دارای بی‌هنجریهای گرانی هستند می‌توان استفاده کرد.

#### ۴-۴-۲ اثر بی‌هنجریهای پوسته بر گرانی زمین

ربایش حاصل از یک اضافه جرم  $\Delta g$  که در عمق  $Z$  در زیرزمین میزبان همگن دفن شده، بر روی نقطه اندازه‌گیری  $P$  در سطح زمین، با استفاده از شکل ۴ و مقدار مطلق رابطه (۴-۲) عبارت است از:

$$\Delta g = \frac{Gdm}{r^3} \quad (15-2)$$



شکل ۴- اثر گرانشی اضافه جرم در زیرزمین

جهت میدان گرانی متجه عبارت خواهد بود از جهت برآیند گرانی زمین و میدان گرانشی حاصل از این اضافه جرم. ولی میدانهای محلی در مقایسه با گرانی زمین نسبتاً خیلی کوچکند، بطوری که تغییر جهت میدان زمین قابل چشمپوشی است، هر چند بزرگی آن به مقدار بسیار کمی تغییر می‌کند. لذا در اینجا اثر قائم رابطه (۱۵-۲) باید مورد توجه قرار گیرد. این مؤلفه عبارت است از :

$$\begin{aligned}\Delta g_z &= \Delta g \cos\theta = G \frac{dm \cos\theta}{r^3} \\ &= G \frac{z dm}{r^3} = G \frac{z dm}{(x^2 + z^2)^{3/2}}\end{aligned}$$

اگر جسم زیرزمینی بزرگ باشد کل اثر آن عبارت است از :

$$g_z = G \int_v^{\infty} \frac{z dm}{r^3} = G \int_v^{\infty} \frac{z \rho dv}{r^3} \quad (16-2)$$

که در آن علامت انتگرال نمایانگر آن است که میدان کل از جمع اثر کلیه عناصر در داخل اضافه جرم زیرزمینی بدست می‌آید. با استفاده از این رابطه می‌توان بی‌هنگاری حاصل از اجسام ساده با شکل هندسی معین را پیدا کرد (کینگ و گریفیتس، ترجمه، ۱۳۷۳).

## ۵-۴-۲ چگالی سنگها و اثر آن بر گروانی

تغییرات چگالی سنگهای قشر زمین زیاد نیست. گستره چگالی سنگهای مختلف روی زمین تقریباً بین ۲ تا ۳ گرم بر سانتیمتر مکعب است. البته موادی استثنایی وجود دارند که خارج از این گستره‌اند. مثلاً سنگ تورب یا زغال نارس<sup>۱</sup> دارای چگالی حدود واحد است، در حالی که چگالی کانسارهای فلزی بین ۳ تا ۴ گرم بر سانتیمتر مکعب است.

جدول زیر گستره چگالی بعضی سنگها را نشان می‌دهد:

نوع سنگ	چگالی gr/cm <sup>۳</sup>
بازالت	۲/۹ - ۳
گایرو	۲/۸ - ۲/۹
گرانیت	۲/۵ - ۲/۸
سنگ گنیس	۲/۶ - ۲/۷
ماسه سنگ کرتاسه	۲/۰ - ۲/۳
ماسه سنگ تریاس	۲/۳۵
ماسه سنگ کربنیفر	۲/۳ - ۲/۵
شیلها	۲/۱ - ۲/۶
سنگ آهک	۲/۵ - ۲/۷

بطوری که دیده می‌شود، گستره چگالی بعضی سنگها مثل سنگ آهک و ماسه سنگ نسبتاً بزرگ است، زیرا به درجه تخلخل و سیال محتوی آن بستگی دارد.

چگالی سنگهای قشر خارجی زمین بر روی گرانی اندازه‌گیری شده در بالای آن مؤثر بوده و هرچه چگالی بزرگتر و حجم آن در منطقه بیشتر باشد بی‌هنجاری گرانی بزرگتر خواهد بود، در حالی که عمق بی‌هنجاری نیز در شدت و ضعف مقدار اندازه‌گیری شده مؤثر است. بدین ترتیب روش گرانی‌سنگی در درجه اول برای یافتن حفره‌های بزرگ و سپس برای تشخیص کانسارها و عوارض زیرزمینی که دارای تباين چگالی نسبت به سنگهای اطراف خود باشند مفید خواهد بود.

1- peat

## ۴-۶ بی‌هنجاري گرانی (بی‌هنجاري بوگه<sup>۱</sup>)

دیديم زمين کره كامل با لایه‌بندیهای یکنواخت نبوده و در تقریب اول، بطور متوسط، شکل آن پیضوی و حول محور چرخش خود دوران می‌کند. بر این اساس گرانی نرمال در نقاط مختلف زمين از رابطه (۲-۱۴) بدست می‌آيد. ولی در عمل اندازه‌گیریها بر روی سطح زمين انحرافهایی از این گرانی نرمال نشان می‌دهند. بخشی از این انحرافها مربوط به بی‌هنجاريها موجود در قشر زمين است که هدف از انجام اكتشافات گرانی‌سنجی تعیین محل آنهاست. بخش دیگری از این انحرافها مربوط به پستی و بلندیهای اطراف نقطه اندازه‌گیری و اثر جزر و مد می‌باشد که می‌باشد اثر آنها محاسبه و از مقدار اندازه‌گیری حذف شود. تصحیحات مربوط به این عوامل موضوع بخش ۵ می‌باشد. در عمل این تصحیحات را بر روی مقادیر اندازه‌گیری شده انجام داده و نتایج حاصل را با مقادیر گرانی نرمال مقایسه می‌کنند. اختلاف این دو مقدار را بی‌هنجاري گرانی یا بی‌هنجاري بوگه می‌نامند. اين بی‌هنجاري معمولاً در اثر ناهمنگی چگالی در پوسته زمين بوجود آمده و هدف اصلی اكتشافات گرانی‌سنجی بشمار می‌آيد.

## -۳ دستگاههای اندازه‌گیری

اندازه‌گیری گرانی زمين از زمان نيوتون شروع شده و معمولاً به دو صورت انجام می‌شود: اندازه‌گیری مطلق و اندازه‌گیری نسبی.

## ۱-۳ اندازه‌گیری مطلق

در اين اندازه‌گيری از يك آونگ دو طرفه همزمان استفاده می‌شود. چنین آونگی داراي دو نقطه اتكا می‌باشد که فاصله آنها ۱ است. با تغييردادن ۱ می‌توان زمان تناوب آونگ حول اين دو نقطه را با هم برابر ساخت. در اين صورت اراطول آونگ ساده همزمان گويند و زمان تناوب برابر است با:

$$T = 2\pi \sqrt{\frac{1}{g}}$$

که از آنجا  $g$  قابل محاسبه است. اين کار عملاً بسيار دشوار و با توجه به دقتی که در اندازه‌گیری  $g$  مورد نياز است در چند مرکز روی زمين بيشتر انجام نشده است. اين کار ابتدا در سال ۱۸۱۸ در لندن و در سال ۱۹۰۶ در پتزدام صورت گرفت و اندازه‌گیری دومی بعنوان استاندارد  $g$  و برابر  $981/274$   $= g$  گال انتخاب و به قرارداد پتزدام معروف شد. سپس اندازه‌گيریها در سالهای بعد تصحیح و در سال ۱۹۶۷ مقدار  $981/260$   $= g$  گال انتخاب گردید.

1- Bouguer anomaly

امروزه این اندازه‌گیری با توجه به واحد  $g$  که سانتیمتر بر مجدور ثانیه است و با توجه به پیشرفت‌هایی که در اندازه‌گیری طول و زمان صورت گرفته است، با سقوط جسمی در دستگاه مخصوص صورت می‌گیرد. در این دستگاه زمان عبور جسمی در حال سقوط از یک نقطه مبدأ تا دو نقطه  $S_1$  و  $S_2$  با دقت زیاد ثبت می‌شود. اگر این دو زمان  $t_1$  و  $t_2$  و سرعت اولیه در مبدأ  $v_0$  باشد آنگاه:

$$S_1 = v_0 t_1 + \frac{1}{2} g t_1^2 \quad \text{و} \quad S_2 = v_0 t_2 + \frac{1}{2} g t_2^2$$

اگر  $v_0$  و  $t_2$  استخراج و بر هم تقسیم شود آنگاه:

$$\frac{t_1}{t_2} = \frac{S_1 - \frac{1}{2} g t_1^2}{S_2 - \frac{1}{2} g t_2^2}$$

واز آنجا بدست می‌آید.

$$g = 2 (S_2 t_1 - S_1 t_2) / (t_2 - t_1) t_1 t_2$$

فاصله‌های  $S_1$  و  $S_2$  و زمانهای  $t_1$  و  $t_2$  با دقت زیاد و با کمک پرتوهای لیزری اندازه‌گیری می‌شوند.

### ۲-۳ اندازه‌گیری نسبی

در ژئوفیزیک کاربردی هدف از عملیات گرانی‌سنجه عبارت است از پیدا کردن بی‌هنجاریهای گرانی در منطقه مورد نظر. لذا اندازه‌گیری اختلاف گرانی بین نقاط اساس روش اندازه‌گیری نسبی را تشکیل می‌دهد.

دستگاههایی که برای این منظور به کار می‌روند گرانی‌سنجه نامیده می‌شوند. این دستگاهها بطورکلی برای این اساس ساخته شده‌اند که وزن هر جسم در نقاط مختلف به گرانی زمین در آن نقطه بستگی دارد و اگر جسمی از فنری آویزان شود، با تغییر گرانی در هر نقطه طول فنر تغییر خواهد کرد. دستگاههای گرانی‌سنجه متنوع و بطورکلی به دو دسته پایدار و ناپایدار تقسیم می‌شوند:

### ۱-۲-۳ گرانی‌سنجهای پایدار

اساس این گرانی‌سنجهای شبیه ساختمان نیرو‌سنجه است (شکل ۵). اگر فنر از نوع مخصوص بنام فنر صفر باشد،

تغییرات طول آن (l) متناسب با تغییر گرانی زمین بوده و داریم:

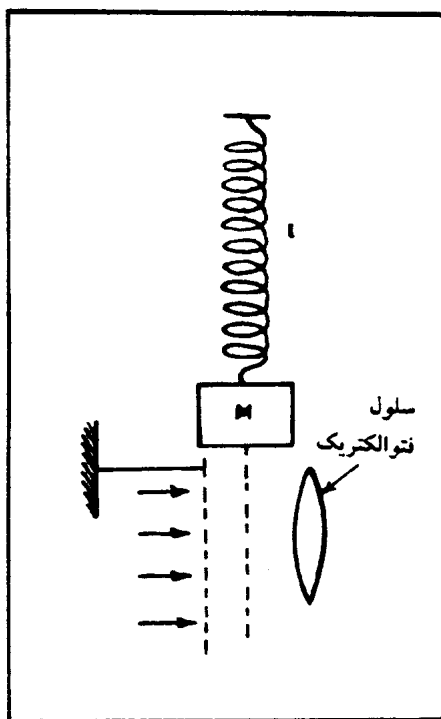
$$Mg = Cl$$

ضریب C به جنس فنر مربوط است. با تغییر گرانی به اندازه  $\Delta g$ , طول فنر تغییر کرده و داریم:

$$M(g + \Delta g) = C(l + \Delta l)$$

و از آنجا پیدا می شود که :

$$\Delta g = g \frac{\Delta l}{l}$$



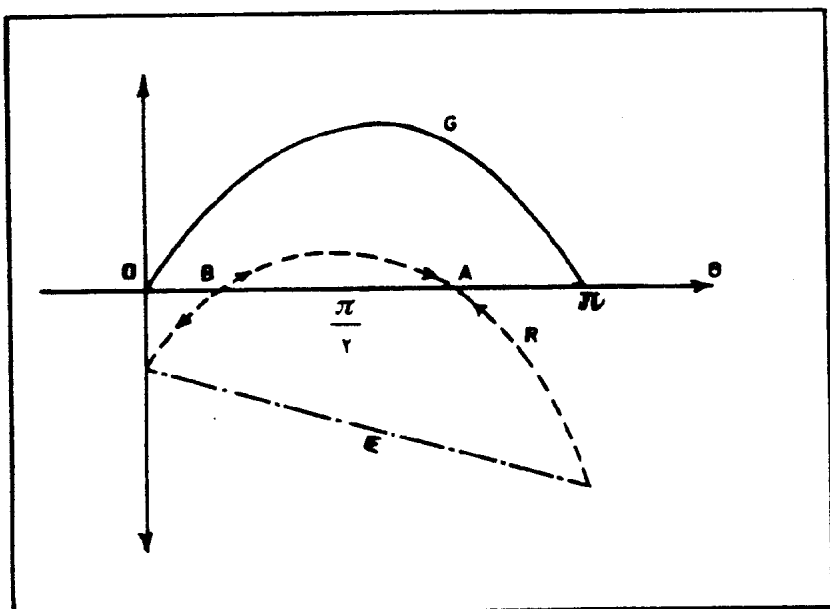
شکل ۵- اساس گرانی سنج پایدار

يعنى با اندازه‌گيري تغيير طول، گرانی نسبی دو نقطه پيدا مي شود.  
تغییرات طول فنر معمولاً بسیار جزئی است و لذا مستلزم تمهیداتی است که بتوان آن را اندازه‌گیری کرد. در یکی از انواع آن مطابق شکل ۵ شبکه قائمی به وزنه M متصل است که در مقابل شبکه ثابت مشابهی می‌تواند حرکت کند. در

طرف دیگر شبکه ثابت پرتوهای نوری از شبکه‌ها گذشته و به یک سلول فتوالکتریک برسخورد کرده و شدت نور به جریان الکتریکی تبدیل می‌شود. تغییرات شدت نور با تغییرات طول فنر متناسب است. در عمل به کمک پیچ مدرجی شبکه متحرک را به وضع اولیه بر می‌گردانند و از روی آن مقدار گردش پیچ مدرج تغییرات گرانی را قرائت می‌کنند (روش صفر).

### ۲-۲-۳ گرانی سنجهای ناپایدار

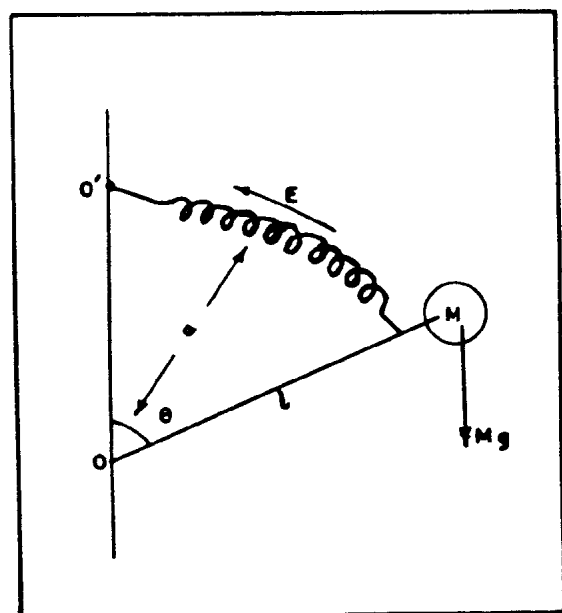
در این گرانی سنجها فنر صفر بطور مایل از دیواره دستگاه آویزان و توسط میله OM با کمک دو لولای O و O' نگاه داشته می‌شود (شکل ۶). جرم M دور محور گردش O تحت گشتاور  $G = Mg \sin \theta$  دوران می‌کند و این گشتاور با گشتاور نیروی کشش E(aE) به حال تعادل در می‌آید. نیروی کشش فنر و a فاصله قائم آن تا نقطه اتکا می‌باشد. منحنی نمایش تغییرات G سینوسی بوده و مقدارش وقتی زاویه  $\theta$  برابر صفر یا  $\pi$  باشد صفر و بازاء  $\theta$  برابر  $\frac{\pi}{2}$  حد اکثر است. شکل ۷ منحنی نمایش G و E برآیند آن دو (R) را نشان می‌دهد. بطری که ملاحظه می‌شود برآیند در دو نقطه A و B برابر صفر است یعنی در این دو نقطه حالت تعادل برقرار است. ولی از این دو نقطه، نقطه B وضع تعادل ناپایداری دارد زیرا اگر مقدار  $\theta$  در این نقطه بیشتر شود R مثبت شده و باعث افزایش بیشتر  $\theta$  می‌شود و بر عکس. در حالی که نقطه A تعادل پایداری دارد و اگر مقدار  $\theta$  در این نقطه کم یا زیاد شود همواره R در جهت مخالف عمل کرده و وزنه را به حال تعادل اولیه (نقطه A) بر می‌گرداند (شکل ۸).



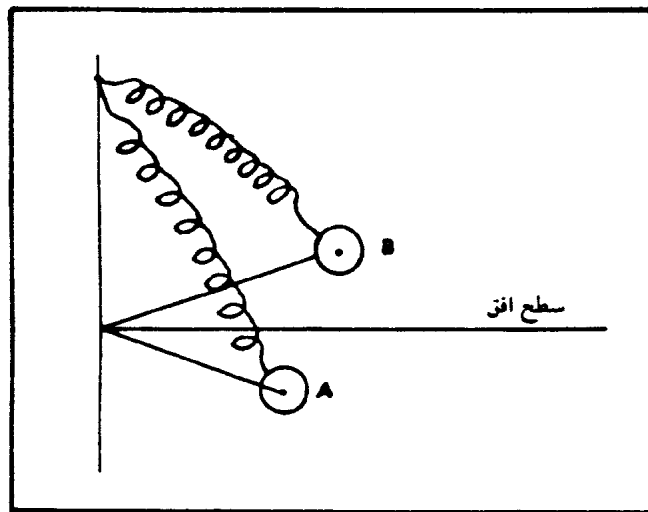
شکل ۷- تعادل گشتاورها در گرانی سنج ناپایدار

G - گشتاور گرانی E - گشتاور نیروی کشش فنر

R - برآیند G و



شکل ۶- اساس گرانی سنج ناپایدار



شکل ۸- موقعیت گرانی سنج در دو حالت پایدار (A) و ناپایدار (B)

حال اگر دستگاه را در یک نقطه معین به حال تعادل ناپایدار واداریم، در نقطه دیگر که گرانی متفاوت است از حالت تعادل خارج شده و انحراف زیادی پیدا می‌کند. اگر فنر از نوع صفر باشد این انحراف متناسب با تغییر گرانی خواهد بود.

این گرانی‌ستجهای در عمل انحراف را اندازه‌گیری نمی‌کنند. مطلوبتر آن است که دستگاه را به وضعیت صفر برگردانده و نیروی لازم برای این کار را اندازه بگیرند. برای این کار در انتهای بالای فنر اصلی (نقطه 'O' در شکل ۶) یک ریزسنج نصب کرده و جابجایی لازم برای بازگرداندن میله به وضعیت صفر را بر حسب قرائت ریزسنج اندازه می‌گیرند.

برای آنکه کشیدگی فنر تا حد امکان مستقل از تغییر دما باشد، دستگاه را در داخل یک فلاسک مخصوص قرار داده و دمای آن را توسط یک المان حرارتی کوچک ثابت نگاه می‌دارند. علاوه بر این در سیستم‌های فنر گرانی‌سنجها وسیله‌های مختلف برای جبران تغییرات دما تعییه می‌شود. همه سیستم‌های فنر بتدریج از خود خرتش<sup>۱</sup> کنده نشان می‌دهند و دستگاه می‌باشد پس از مدتی همسنجی (کالیبره) شود.

امروزه دستگاههای گرانی‌سنجی بسیار حساس و قابل حمل وجود دارد. دقت این دستگاهها، در گستره کامل حدود ۷۰۰۰ میلی‌گال، کمتر از چند صدم میلی‌گال و دقت دستگاههای جدید خردگرانی‌سنج<sup>۲</sup> در حدود یک هزار میلی‌گال است.

1- creep

2- microgravimeter

## -۴- برداشت صحراي

شيوه انجام برداشت‌هاي صحراي به مقدار زيادي به هدف کار بستگي دارد. برداشت‌هاي بزرگ مقیاس که به منظور آشكارسازی ساختارهای عمدۀ زمین‌شناختی صورت می‌گيرند، با پوشش نقاطی با فاصله حدود يک کيلومتر از هم انجام می‌شوند. سعی می‌شود که اين ايستگاههای اندازه‌گيري دارای پوشش يكناخت باشند و اگر زمین نسبتاً تخت و باز باشد بصورت شبکه انتخاب می‌شوند. در اندازه‌گيريهاي کوچک مقیاس اين فاصله کمتر و ممکن است در حدود چند متر باشد.

قبل از انتخاب نقاط يک شبکه، تعدادی ايستگاه مبنا که نسبتاً از هم دورند انتخاب می‌شود. برای آنکه دقت بيشتر شود اين ايستگاههای مبنا بر روی گوشه مثليها يا چند ضلعی‌هاي انتخاب می‌شوند، بطوری که هر وجه آنها دوبار اندازه‌گيري شده و خطاي بست<sup>۱</sup> هر چند ضلعی بر روی مقادير اندازه‌گيري شده آن چند ضلعی سرشکن می‌شود. سپس ايستگاههای ثانوي بین دو ايستگاه مبنا با همان روش ملث‌بندي يا چند ضلعی انجام می‌گردد. تصحیحات لازم که در بخش آينده شرح داده خواهد شد، برای هریک از اندازه‌گيريها انجام و بی‌هنجراري بوگه برای هریک محاسبه می‌گردد. نتایج بدست آمده بصورت مقاطع یا نقشه‌های پربندی<sup>۲</sup> که در واقع منحنی‌های هم مقدار بی‌هنجراري بوگه است نشان داده می‌شود.

موضوع ديگري که در اندازه‌گيريها می‌بايست انجام گيرد موقعیت و ارتفاع نسبی ايستگاهها است که با دقت زياد باید صورت گرفته و بویژه در تصحیحات مورد استفاده قرار گیرد. علاوه بر اين مطالعات زمین‌شنااسي شناسايدی نيز در منطقه باید انجام گيرد، و همچنين نمونه‌های سنگهای غيرهوازده برای تعیین چگالی سنگها مورد نياز است. اين داده‌ها برای انجام تصحیحات و همچنان در تفسیر اندازه‌گيريها مورد نياز خواهند بود. امروزه انجام نقشه‌برداريهای خصوصاً در برداشت‌هاي دريایي با استفاده از ماهاواره‌هايی که مدارهای آنها دقیقاً معلوم است صورت می‌گيرد. در اندازه‌گيريهاي دريایي عمقهای کف دریا و همچنان سرعت کشتی نيز می‌بايست مرتباً تحت کنترل قرار گيرد که برای حذف تغیيرات گرانی حاصل از تغييرات عمق و تصحیحات دقیق عرض جغرافیائی و آتووش<sup>۳</sup> مورد استفاده خواهند بود (تلفورد و ديگران، ترجمه، ۱۳۷۵).

## -۵- تصحیحات گرانی سنجی

قبلاً گفته شد که بی‌هنجراري بوگه، آن قسمت از اختلاف بین گرانی اندازه‌گيري شده و گرانی نظری (رابطه گرانی نرمال)

1- closing error

2- contour map

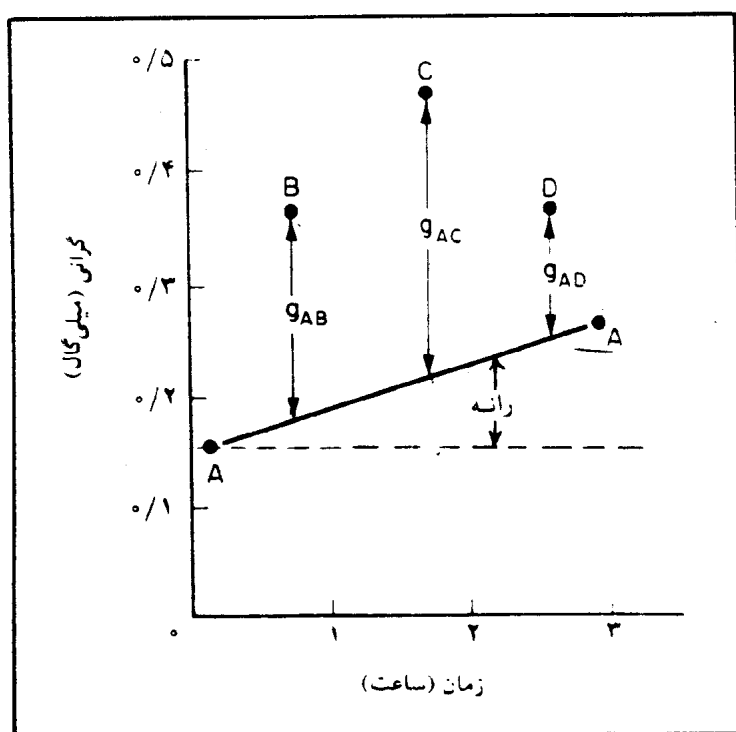
3- Eötvos

در هر نقطه بر روی زمین است که فقط مربوط به تغییرات جانبی چگالی در زیر سطح زمین باشد. برای بدست آوردن این کمیت می‌بایست اندازه‌گیریها تصحیح شوند تا اثر تغییرات گرانی حاصل از تغییرات خود گرانی سنج، عرض جغرافیایی، دوری یا نزدیکی از مرکز زمین، رباش پستی و بلندیهای مجاور، جزر و مد و غیره حذف شوند. این تصحیحات در زیر شرح داده خواهد شد:

### ۱-۵ تصحیح رانه<sup>۱</sup> دستگاه

اندازه‌گیری در هر نقطه را می‌بایست برای تغییراتی که در طول روز بر اثر جابجایی دستگاه، کشسان<sup>۲</sup> نبودن فنر دستگاه، تغییرات جزر و مد و غیره در دقت دستگاه بوجود می‌آید تصحیح کرد. این تصحیح را تصحیح رانه (دریفت) می‌نامند. برای این منظور لازم است که اندازه‌گیری در طول روز در یک نقطه مبنا هریک تا دو ساعت یکبار تکرار و بر روی نموداری بنام نمودار رانه دستگاه بر حسب زمان رسم شوند، سپس اندازه‌گیریهای نقاط مورد نظر براساس این نمودار تصحیح گرددند بعارت دیگر مقادیر دانه مثبت از مقادیر اندازه‌گیری کسر می‌شود بر عکس (شکل ۹).

در این شکل AA منحنی رانه است که در دو نوبت با فاصله ۳ ساعت انجام گرفته و  $g_{AC}$  و  $g_{AD}$  همان اختلاف گرانی بین ایستگاههای B و C و D است که مورد نظر می‌باشد.



شکل ۹- تصحیح رانه

1- drift correction

2- elastic

## ۲-۵ تصحیح عرض جغرافیایی

اگر زمین کره‌ای می‌بود بدون چرخش با لایه‌بندی هم‌مرکز و همگن و با گرادیان قائم چگالی یکسان در همه جا، و اگر سطح آن موازی سطح دریا بود، این تصحیح موردنی نداشت. ولی چنین نیست و دیده شد که بهترین تقریب شکل زمین بیضوی مرجع با حرکت چرخشی است. لذا با کاربرد رابطه گرانی نرمال (رابطه ۱۴-۲) این تصحیح خودبخود انجام می‌گیرد. از آنجاکه در اکتشافات اغلب با تفاوت‌های گرانی سروکار است، این تصحیح‌ها ممکن است بصورت تفاوت از یک مبنای انتخابی دلخواه باشند (بخش ۱-۵).

### تصحیح هوای آزاد<sup>۱</sup>

از آنجاکه گرانی با دوری و نزدیکی از مرکز زمین تغییر می‌کند، لازم است که اندازه‌گیریها نسبت به یک سطح مبنای معمولاً همان سطح تراز دریاست تصحیح شوند. اگر زمین کره فرض شود، گرانی در تراز دریا عبارت خواهد بود از:

$$g_0 = G \frac{M}{R^2}$$

که در آن  $M$  جرم زمین و  $R$  شعاع متوسط آن است.

گرانی در ارتفاع  $h$  از سطح دریا عبارت است از :

$$g = G \frac{M}{(R+h)^2} \cong G \frac{M}{R^2} \left(1 - \frac{2h}{R}\right) \cong g_0 \left(1 - \frac{2h}{R}\right)$$

که از جمله‌های مرتبه بالاتر صرفنظر شده است. از رابطه بالا می‌توان نوشت:

$$\Delta g = g_0 - g = \frac{2hg_0}{R}$$

اگر مقادیر میانگین  $g_0$  و  $R$  بکار برد شود  $\Delta g \cong 0.0086 \text{ mgal}$  بدست می‌آید که عبارت است از تغییر گرانی به ازای یک متر. اگر نقطه اندازه‌گیری بالاتر از تراز دریا باشد، این مقدار به مقدار اندازه‌گیری شده اضافه می‌شود و بر عکس.

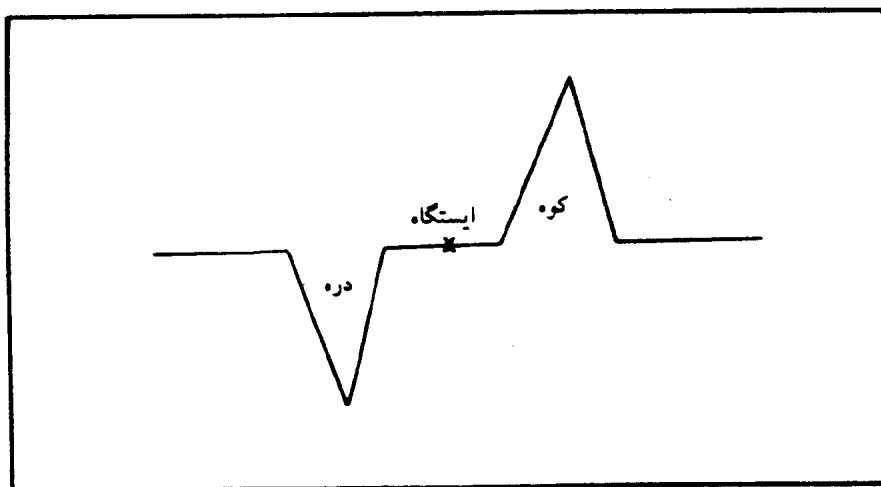
1- free air correction

### ۳-۵ تصحیح بوگه

علاوه بر دوری و نزدیکی نقطه اندازه‌گیری نسبت به مرکز زمین، بین تراز نقطه اندازه‌گیری و تراز سطح مبنا ضخامتی از سنگ یا نبود آن وجود دارد که اثر گرانشی به نقطه اندازه‌گیری وارد می‌کند. این اثر اضافه بر آن است که از طرف جرم زیر سطح مبنا اعمال می‌گردد. گرانش این قسمت را می‌توان تقریباً مربوط به یک تخته<sup>۱</sup> فرض کرد که ضخامت آن برابر ارتفاع ایستگاه اندازه‌گیری از سطح مبنا و گسترش آن از هر طرف تا بینهایت است. ریاضی چنین تخته‌ای برابر  $2\pi G\rho h$  است که در آن  $h$  ارتفاع ایستگاه و  $\rho$  چگالی تخته است. این تصحیح به تصحیح بوگه<sup>۲</sup> معروف بوده و اگر نقطه اندازه‌گیری بالاتر از تراز دریا باشد از مقدار اندازه‌گیری کم می‌شود و برعکس. مجموع تصحیح هوای آزاد و تصحیح بوگه را تصحیح ارتفاع نیز می‌نامند.

### ۴-۵ تصحیح جرم‌های مجاور (تصحیح زمینگان<sup>۳</sup>)

اگر در اطراف محل اندازه‌گیری کوهها یا دره‌هایی وجود داشته باشد، اثر گرانشی آنها در اندازه‌گیری‌های گرانی مؤثر خواهد بود. چنین عواملی بویژه در فاصله‌های کمتر از ۲۰۰ متر قابل اهمیت بوده و تصحیح مربوط به آنها باید انجام شود. چنین تصحیح را تصحیح توپوگرافی نیز می‌نامند.



شکل ۱۰- وجود یا نبود جرم در اطراف ایستگاه

اگر مطابق شکل ۱۰ در اطراف نقطه اندازه‌گیری جرم‌های اضافی (مثل کوه) یا نبود جرم (مثل دره) وجود داشته باشد هر دو، اثر منفی در اندازه‌گیری گرانی خواهد داشت، لذا اثر آنها می‌بایست به مقدار اندازه‌گیری اضافه شود. برای

1- slab

2- Bouguer

3- terrain correction

محاسبه اثر گرانی این جرم‌های اضافی روش‌های مفصل ترسیمی یا برنامه‌های کامپیوتری وجود دارد. در این روشها جرم‌های اضافی به ستونها یا بلوک‌های مختلف سنگی تقسیم و ارتفاع بالا و پایین بلوک‌ها نسبت به نقطه اندازه‌گیری، موقعیت هریک از ستونها، موقعیت ایستگاه اندازه‌گیری و چگالی ستونها سنگی اندازه‌گیری می‌شود. سپس اثر گرانشی هر بلوک از راه ترسیمی یا توسط کامپیوتر و با استفاده از رابطه (۱۶-۲) محاسبه می‌گردد (کینگ و گرفیتس، ترجمه، ۱۳۷۳).

## ۵-۵ تصحیح جزر و مد

اگر نیروی گرانی در نقطه‌ای روی زمین بطور پیوسته اندازه‌گیری شود منحنی نوسانی نشان می‌دهد که تا حدودی از جزر و مد حاصل از گرانش ماه و خورشید تعییت می‌کند. این تغییرات گرانی تا حدود ۴۵٪ میلی‌گال در روز اندازه‌گیری شده است. چون در تصحیحات مربوط به رانه دستگاه اثر جزر و مد نیز وجود دارد لذا عملاً جزر در اندازه‌گیریهای خیلی دقیق، این تصحیحات در نمودار رانه دستگاه منظور می‌شود.

## ۶-۵ بی‌هنجری بوگه

اینک می‌توان مقادیر گرانی را بصورت بی‌هنجری بوگه درآورد که قبلًا تعریف شده است.  
بی‌هنجری بوگه = گرانی اندازه‌گیری شده + تصحیح ارتفاع + تصحیح توپوگرافی - گرانی نرمال  
از آنجاکه گرانی سنجها تنها تفاوت‌های گرانی را اندازه‌گیری می‌کنند، در صورتی که بی‌هنجری بوگه واقعی موردنظر باشد، اندازه‌گیری باید در نقطه‌ای آغاز شود که گرانی آن معلوم است. در اکتشافات اغلب تنها تفاوت‌های بی‌هنجری گرانی موردنظر است. لذا اگر اندازه‌گیری از هر نقطه مبنای بدان یک مقدار گرانی دلخواه نسبت داده شده، آغاز شود کاملاً رضایت‌بخش خواهد بود. در این صورت تصحیح‌های مربوطه تنها بر روی تفاوت‌های اندازه‌گیری شده اعمال خواهند شد و در نهایت مقادیر بی‌هنجری متنجه با بی‌هنجری بوگه واقعی تنها مقدار ثابتی اختلاف خواهند داشت.

## ۶- نمایش داده‌ها

پس از انجام برداشت‌های صحراوی که بمنظور اندازه‌گیری تغییرات گرانی در نقاط مختلف شبکه اندازه‌گیری است، انجام تصحیحات لازم بر آنها و نهایتاً بدست آوردن بی‌هنجری بوگه برای هر نقطه اندازه‌گیری، داده‌های اندازه‌گیری را به دو صورت نشان داده و سپس تفسیر می‌نمایند:

۱- نمایش پروفیلی - برای نقاطی که تقریباً بر روی یک خط برداشت قرار گرفته باشد می‌توان نمودارهای پروفیلی تشکیل داده و مقادیر بی‌هنجری بوگه را بر حسب فاصله از یک نقطه مبدأ خط برداشت رسم کرد که بعداً تفسیر می‌شود.

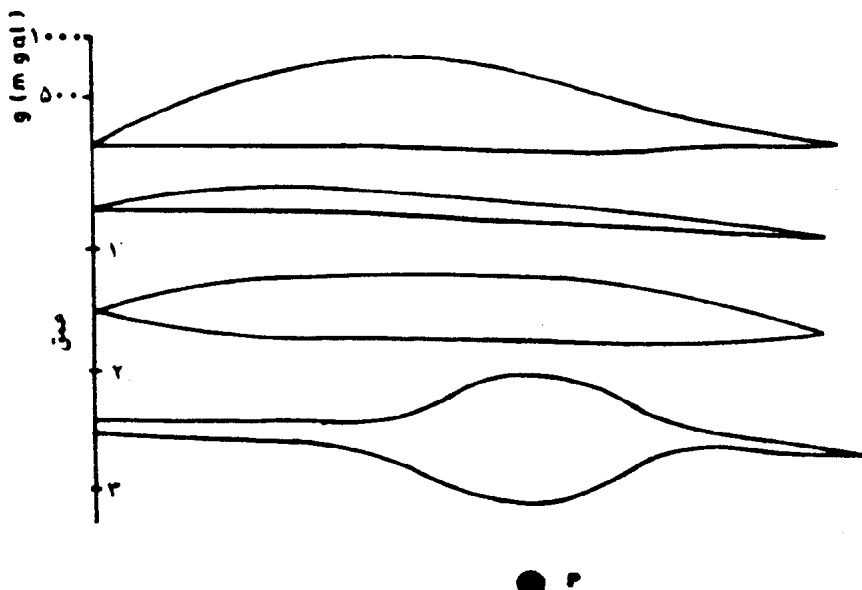
۲- نقشه‌های پربندی<sup>۱</sup> - اگر مقادیر بی‌亨جاري بوگه اندازه‌گيری شده برای هر نقطه بر روی نقشه ثبت و مقادیر مساوی به هم وصل شود، نقشه پربندی بی‌亨جاري بوگه یا به اختصار نقشه بوگه به دست می‌آيد که باید تفسیر شود.

## تفسیر داده‌ها -۷

بی‌亨جاريهای مشاهده شده بر روی خط برداشت یا بر روی نقشه بوگه، حکایت از یک کمبود جرم یا یک اضافه جرم در زيرزمين دارند. منظور از تفسير داده‌ها عبارت است از تعیین موقعیت، شکل و اندازه جسم زيرزمینی که سبب بوجود آمدن اين بی‌亨جاري شده است.

در اينجا باید تذکر داد که با وجود همه پيشروت‌هايي که در روش‌هاي تفسير گرانى صورت گرفته است، اين روشها به دو دليل متاثر از ابهامات جدي می‌باشند:

دليل اول اينکه، هر چند محاسبه بی‌亨جاري گرانى يك جسم، با هر شكلی که باشد، نسبتاً آسان است ولی برای مسئله معکوس يعني محاسبه پaramترهای جسم از روی بی‌亨جاري مشاهده شده، وقتی هيچگونه داده‌اي در دسترس نباشد، راه حل كامل وجود ندارد. به عنوان مثال تعدادي اجسام عدسي شكل مختلف را می‌توان در عمقه‌اي مناسب قرار داده و برای هر کدام يك بی‌亨جاري گرانى بدست آورد که از لحاظ شكل و بزرگي برابر بی‌亨جاري حاصل از كره‌اي باشد که با جرمي معين در عمقي بيشر قرار گرفته است (شکل ۱۱).

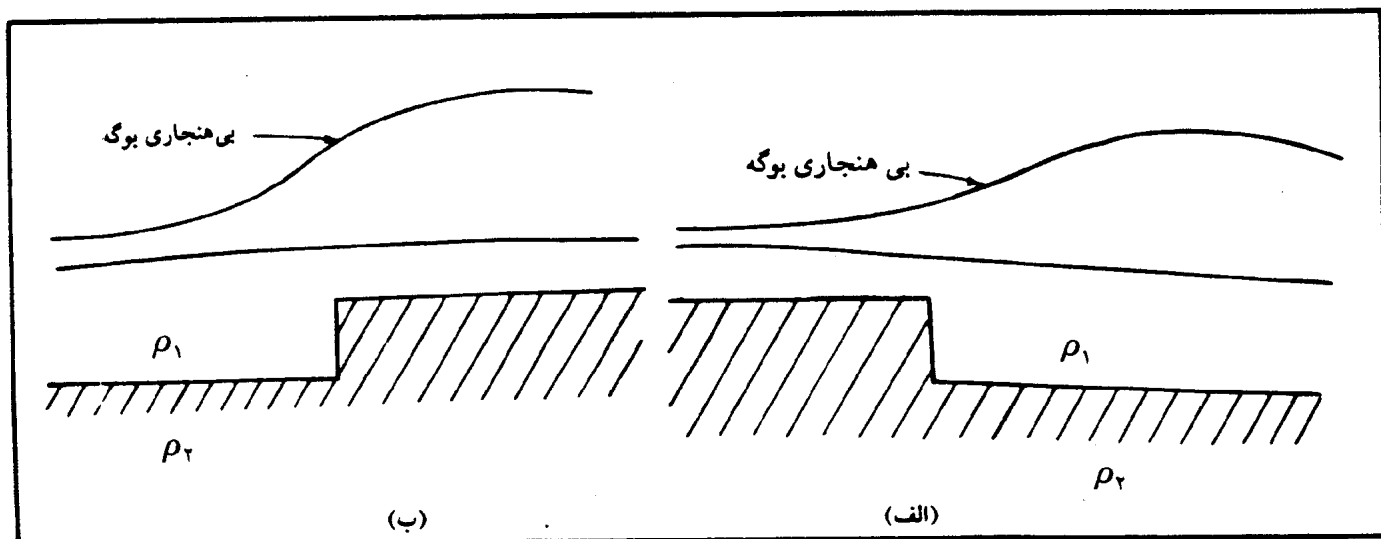


شکل ۱۱- بی‌亨جاري بوگه حاصل از سه جسم عدسي شكل و يك جسم کروي در عمقه‌اي مختلف

---

1- contour maps

بعنوان مثالی دیگر در شکل ۱۲، اگر اطلاعات کافی در مورد چگالی زمین در منطقه مورد بحث موجود نباشد، دو مدل الف و ب یک پروفیل گرانی را ارائه خواهد داد.



شکل ۱۲- دو مدل زیرزمینی که یک بیهنجاری را نشان خواهد داد. (الف)  $\rho_1 > \rho_2$  (ب)  $\rho_1 < \rho_2$

دلیل دوم آن است که بیهنجاری گرانی ممکن است ناشی از چند عامل مختلف باشد. با وجود اینها غالباً در مورد ساختار زمین‌شناختی منطقه مورد مطالعه دانسته‌هایی وجود دارد و از روی این دانسته‌ها و با یک آزمون کیفی از بیهنجاری گرانی معمولاً می‌توان ایده‌ای از اندازه، شکل و موقعیت ساختار زیرزمینی بدست آورد. تعبیر و تفسیر داده‌های گرانی ممکن است بصورت کمی یا کیفی صورت گیرد که در زیر شرح داده می‌شود:

### ۱-۷ تفسیر کمی

#### ۱-۱-۷ اجسام ساده منظم

تفسیر کمی معمولاً برای ساختارهایی صورت می‌گیرد که دارای شکل ساده منظم بوده و محاسبه بیهنجاری آن از طریق تئوری امکان‌پذیر باشد. مثلاً در مورد کره شکل ۱۳، اگر چگالی آن برابر چگالی محیط اطرافش باشد هیچگونه بیهنجاری تولید نمی‌کند. لذا برای محاسبه بیهنجاری کره باید اختلاف چگالی آن را با چگالی اطرافش  $\rho_1 - \rho_2 = \rho$  به حساب آورد. برای یک خط برداشت بر بالای این کره، از رابطه (۱۶-۲) نتیجه می‌شود:

$$\Delta g_z = \frac{4\pi G R^3 \rho}{3Z} \times \frac{1}{(1 + x^2/z^2)^{3/2}} = \frac{\Delta g_{max}}{(1 + x^2/z^2)^{3/2}}$$

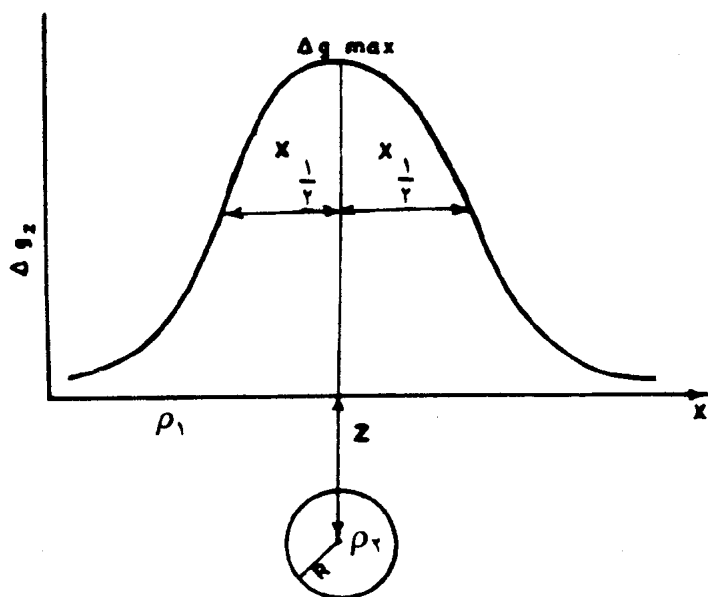
که در آن  $\Delta g_{max} = \frac{4\pi G R^3 \rho}{3Z}$  حداکثر بی‌هنجاری بر بالای کره و  $Z$  عمق مرکز کره است. شکل ۱۳ منحنی بی‌هنجاری را بر حسب فاصله از بالای کره ( $x$ ) نشان می‌دهد. اگر فاصله نقطه‌ای را که در آن بی‌هنجاری نصف است نیم پهنا نامیده و با  $X_{1/2}$  نشان داده شود آنگاه:

$$\Delta g_z = \frac{\Delta g_{max}}{\sqrt{1 + \frac{x}{Z}}} = \frac{\Delta g_{max}}{\left(1 + \frac{X_{1/2}}{Z}\right)^{1/2}}$$

و از آنجا رابطه بین نیم پهنا و عمق بدست می‌آید:

$$Z = 1/305 X_{1/2}$$

که از روی آن عمق محاسبه می‌شود، و اگر انگاره‌ای از چگالی جسم در دست باشد، شعاع جسم نیز معلوم خواهد شد. برخی از گنبدهای زیرزمینی را می‌توان تقریباً به شکل کره فرض کرد.



شکل ۱۳- بی‌هنجاری گرانی یک کره

مثال دیگر، استوانه افقی است که مدل خوبی برای ساختارهای زمین‌شناختی در مناطقی است که از سنگهای رسوبی تشکیل یافته و تقریباً افقی می‌باشد. تاقدیسهای تیز را می‌توان با استوانه افقی شبیه‌سازی کرد. برای ساده‌شدن فرمول،

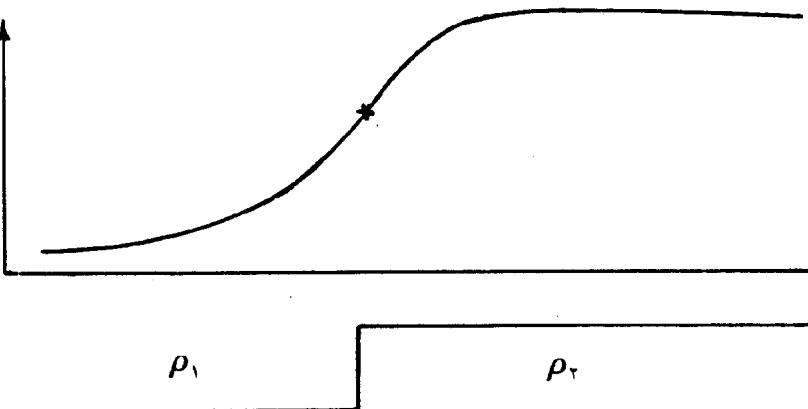
طول چنین استوانه‌ای را بی‌نهایت فرض کرده و فرمول بی‌هنگاری آن مطابق روش کره چنین بدست می‌آید:

$$\Delta g_z = \frac{2\pi G R^3 \rho}{Z} \times \frac{1}{(1 + x^2/z^2)}$$

و از آنجا عمق محور استوانه درست برابر فاصله نیم پهنا خواهد بود، یعنی  $Z = X^{1/2}$

مثال دیگر، استوانه عمودی است که تقریب خوبی از گنبدها، پلاکهای آتشفسانی و سایر عوارض نفوذی به حساب می‌آید. برای استوانه عمودی مدفون که عمق بالای آن  $Z_1$  و تا عمق زیاد ادامه داشته باشد،  $X_{1/2} = \sqrt{3} Z_1$

و بالاخره برای افتادگیهای قائم مانند شکل ۱۴، ثابت می‌شود که عمق تا بالای گسله برابر است با فاصله از گسله تا نقطه‌ای که در آنجا تغییر گرانی یک چهارم بی‌هنگاری ماکزیمم باشد.



شکل ۱۴ - بی‌هنگاری حاصل از یک گسله قائم

برای اکثر این موارد منحنی‌های استاندارد تهیه شده که بصورت ترسیمی می‌توان از منحنی صحرایی استفاده کرده و عمق و محدوده جسم بی‌هنگار زیرزمینی را بدست آورد (گریفیس و کینگ، ترجمه، ۱۳۷۳).

## ۲-۱-۷ اضافه جرم اجسام نامنظم

برای تفسیر کمی اجسام نامنظم با استفاده از نقشه بی هنجاری بوگه چنین خواهد بود:

$$m = (\rho_2 - \rho_1) V$$

که در آن  $\rho_1$  چگالی اطراف این جسم،  $\rho_2$  چگالی جسم و  $m$  جرم اضافی حاصل از جسم نامنظم یا حجم  $V$  می باشد.

بنا به تئوری گوس، شار میدان جاذبه ( $\varphi$ ) حاصل از اضافه جرم در عبور از صفحه  $P$  (سطح برداشت) برابر  $2\pi mG$  می باشد (تلفورد و دیگران، ترجمه، ۱۳۷۵). از طرف دیگر :

